

شماره ۱۱۶، پاییز ۱۳۹۶

صص: ۲۴۶-۲۳۱

مطالعه پویش کل ژنومی صفات ترکیبات لاشه در جمعیت F₂ حاصل از تلاقی مرغ بومی آذربایجان غربی و سویه گوشتی آرین

علی جوانروح علی آباد

دانش آموخته دکتری، گروه علوم دامی، دانشکده کشاورزی، دانشگاه تربیت مدرس، تهران، ایران

رسول واعظ ترشیزی (نویسنده مسئول)

دانشیار، گروه علوم دامی، دانشکده کشاورزی، دانشگاه تربیت مدرس، تهران، ایران.

علی اکبر مسعودی

استادیار، گروه علوم دامی، دانشکده کشاورزی، دانشگاه تربیت مدرس، تهران، ایران

علی‌ضا احسانی

استادیار، گروه علوم دامی، دانشکده کشاورزی، دانشگاه تربیت مدرس، تهران، ایران

تاریخ دریافت: بهمن ۱۳۹۵ تاریخ پذیرش: فروردین ۱۳۹۶

شماره تماس نویسنده مسئول: ۰۹۱۲۳۲۱۱۶۵۳

Email: rasoult@modares.ac.ir

چکیده

ترکیبات لاشه جزء صفات مهم اقتصادی در جوجه‌های گوشتی محسوب می‌شود. به منظور شناسایی جایگاهها و ژنهای مرتبط با صفات ترکیبات لاشه، مطالعه پویش کل ژنوم (GWAS) با استفاده از یک تراشه SNP ژنوم مرغ (Illumina 60k Chicken Beadchip B) در یک جمعیت F₂ حاصل از تلاقی دوطرفه مرغ بومی آذربایجان غربی و خط سویه گوشتی آرین انجام شد. برای هر پرنده، شش صفت شامل وزن لاشه، وزن سینه و وزن ران و درصدهای مربوطه (درصد لاشه، سینه و ران) مورد اندازه‌گیری قرار گرفت. با استفاده از دو مدل GLM و CMLM ارتباط هر یک SNP با این صفات مورد بررسی قرار گرفت. در مجموع تعداد ۲۲ نشانگر SNP مرتبط با صفات ترکیبات لاشه شناسایی شد. این نشانگرهای در داخل، ناحیه بالادرست و یا در ناحیه پایین دست ژنهای کاندیدا قرار داشتند. برای صفت وزن لاشه ژنهای DHX15 و RET و SALL1 و FNDC3B و PEL12 و FGF4 و TMTc2 و MAT1A و ZBTB49 و STX8 و TBC1D5 و REEP3 و DENND5B شناسایی شدند. برای صفت وزن سینه ژنهای SLC4A1، ZC3H12A و FNDC3B و SLC4A1 و GLMN و PGGT1B، UCHL3، ASB9 و ST3GAL3 شناسایی شدند. همچنین برای صفت وزن ران ژنهای KAN1D1A و KAN1D1B شناسایی شدند. به طور کلی ژنهای کاندیدای شناسایی شده، عملکرد مولکولی مرتبط با هر یک از صفات مورد مطالعه را داشتند. لذا، با بررسی این ژنهای می‌توان از پتانسیل ژنتیکی آنها در برنامه‌های اصلاحی طیور استفاده نمود.

واژه‌های کلیدی: مرغ، جمعیت F₂، صفات ترکیبات لاشه، مطالعه پویش کل ژنومی، ژنهای کاندیدا

Animal Science Journal (Pajouhesh & Sazandegi) No 116 pp: 231-246

Title: Genome wide association study (GWAS) for body composition traits in a F2 population crosses of Arian broiler line and Azerbaijan native chicken

By: Ali Javanrouh Aliabad¹, Rasoul Vaez Torshizi^{2*}, Ali Akbar Masoudi³, Ali Reza Ehsani³

1: Ph.D. Student, Department of Animal Science, Faculty of Agriculture, Tarbiat Modares university, Tehran, Iran

2: Assistant Professor, Department of Animal Science, Faculty of Agriculture, Tarbiat Modares university, Tehran, Iran

3: Associated Professor, Department of Animal Science, Faculty of Agriculture, Tarbiat Modares university, Tehran, Iran

Received: February 2017

Accepted: March 2017

Body compositions are of significant economic importance to the broiler. In order to identify the loci associated with body composition traits, genome-wide association study (GWAS) was carried out in a chicken F2 population. The population derived from a reciprocal cross between Azerbaijan indigenous chickens and Aryan broiler line using Illumina 60K Chicken SNP Bead chip. For each bird, a total of six traits including carcass weight, breast weight, drumstick and thigh weight, and the percentage of these three traits were recorded. In the present study, the association of identified SNPs with body composition traits was estimated by general linear model (GLM) and compressed mixed linear model (CMLM). Totally, 22 SNPs were found to be associated with body composition traits. All these SNPs were located in internal, upstream and/or downstream of candidate genes related to under study traits. Two candidate genes (*FNDC3B* and *SALL1*) were found to be associated with carcass weight trait and six ones (*FGF4*, *PEL12*, *TMT2*, *MATIA*, *RET* and *DHX15*) were detected to be related to percentage of carcass weight trait. We identified three genes (*ZC3H12A*, *SLC4A1* and *FNDC3B*) for breast weight trait and four genes (*UCHL3*, *PGGT1B*, *GLMN* and *SLC4A1*) to the percentage of breast weight trait. In addition, three genes (*ASB9*, *DENND5B* and *REEP3*) were related to the drumstick and thigh weight trait, and four genes (*STX8*, *TBC1D5*, *ZBTB49* and *ST3GAL3*) were identified for the percentage of drumstick and thigh weight trait. As a conclusion, it may be inferred that the identified candidate genes have molecular functions related to body composition traits. So, investigation on these candidate genes can provide a genetic potential in the future chicken breeding programs.

Key words: Chicken, F2 population, body composition traits, GWAS, Candidate genes

مقدمه

بدن که وراثت پذیری متوسطی دارند (حدود ۰/۳۵)، روش مرسوم انتخاب خیلی موثر بوده است؛ زیرا اندازه گیری این صفت آسان و کم هزینه بوده و برای گله های خیلی بزرگ قابل انجام است. در مورد صفات مربوط به ترکیبات لاشه از قبیل وزن عضله سینه و وزن ران با وجود داشتن وراثت پذیری بالاتر، پیشرفت ژنتیکی به دلایل همچون مشکل اندازه گیری این نوع صفات و پایین بودن صحت ارزیابی ژنتیکی به خاطر استفاده از اطلاعات خویشاوندان،

در چند سال اخیر، پرورش طیور گوشتی با توجه به نقش و اهمیت خاصی که در تامین پروتئین حیوانی مورد نیاز جامعه انسانی دارد، رشد زیادی یافته است. در دهه های گذشته، اصلاح نژاد طیور پیشرفت های قابل توجهی داشته است. عمله پیشرفت ژنتیکی برای صفات رشد و ترکیبات لاشه در جوهره های گوشتی با استفاده از روش مرسوم انتخاب و بر اساس اطلاعات فنوتیپی و شجره بدست آمده است (Madeja و همکاران، ۲۰۰۴). در مورد صفات وزن

سرعت رشد بالا بوده و انتخاب برای صفات رشد، ضربیت تبدیل غذایی و ترکیبات لاشه انجام می‌شود. از طرفی در مرغ بومی آذربایجان غربی با سرعت رشد پایین، انتخاب برای صفات تولیدمثلى و صفات وزن بدن انجام می‌گیرد. به این ترتیب بیشترین چندشکلی از نظر نشانگرهای بکار رفته در جمعیت F2 قابل شناسایی خواهد بود. لذا هدف از این تحقیق، شناسایی جایگاهها و ژن‌های مرتبط با صفات ترکیبات لاشه در جمعیت F2 حاصل از مرغ بومی آذربایجان غربی و سویه گوشتی آرین می‌باشد.

مواد و روش‌ها

در این تحقیق از تلاقی خط B سویه گوشتی آرین و مرغ بومی آذربایجان غربی برای ایجاد نسل F1 استفاده شد. با انتخاب والدین مناسب از نظر اختلاف فتوتیپی، حداقل هتروزیگوستی در نسل F1 و متعاقب آن حداقل تنوع ژنتیکی در جمعیت F2 بوجود خواهد آمد. از آمیزش دو خروس با هشت مرغ به صورت دوطرفه (یک خروس به ازای چهار مرغ) طی دو نوبت جوجه کشی جمعیت F1 ایجاد گردید. تعداد جوجه به ازای هر مرغ متغیر بوده و بین ۹ تا ۱۴ جوجه بود. تعداد ۳۲ مرغ با رعایت کمترین رابطه خویشاوندی به همراه ۷ خروس انتخابی جهت ایجاد نسل دوم انتخاب شد. به این ترتیب ۷ خانواده ناتی تشكیل گردید. تا حد امکان مرغها و خروس هر خانواده مربوط به والدین متفاوت بودند. برای ایجاد جمعیت نسل دوم دو نوبت جوجه کشی انجام گرفت (دو هچ) و به این ترتیب تعداد ۹۶ پرنده نسل F2 ایجاد شد. این پرنده‌ها به مدت ۱۲ هفته پرورش و سپس کشتار شدند. رکوردهای مربوط به ترکیبات لاشه شامل: وزن لاشه، وزن سینه، وزن ران، درصد لاشه، درصد سینه و درصد ران ثبت گردید. قبل از کشتار از تمام پرنده‌گان نسل دوم به مقدار یک میلی لیترخون از سیاهرگ ناحیه مثلثی زیربال، در تیوب‌های حاوی ماده ضد انعقاد EDTA گرفته شد و استخراج DNA ژنومی با استفاده از روش بهینه یافته نمکی انجام گرفت (Javanrouh و همکاران، ۲۰۰۶). بعد از تعیین کمیت و کیفیت DNA با استفاده از روش اسپکتوفوتومتری، همه نمونه‌های DNA با غلظت ۳۰۰ نانو گرم به

کندر می‌باشد (Demeure و همکاران، ۲۰۱۳). در سال‌های اخیر با توسعه تکنیک‌های مولکولی، امکان نقشه‌یابی ژن‌های موثر بر صفات اقتصادی فراهم شده و با کمک این روش‌ها می‌توان جایگاه‌های صفات کمی (QTL) موثر بر صفات را مشخص کرد و پیشرفت ژنتیکی را سرعت بخشید. در حال حاضر با دسترسی بودن مجموعه بزرگی از چندشکلی‌های تک نوکلئوتیدی (SNP) در طیور و کاهش هزینه تعیین ژنوتیپ، انتخاب ژنومی در حال عملی شدن می‌باشد. پیش‌بینی می‌شود با پوشش وسیع نشانگرها در سطح ژنوم مرغ، نشانگرهای SNP در اهداف اصلاحی طیور بکار گرفته شوند. مطالعه پویش کل ژنومی یا^۱ GWAS برای نقشه‌یابی و شناسایی ژنها در بسیاری از صفات جهت انتخاب بکار برده می‌شود. این فرایند منجر به کشف ژنها و شناسایی جهش‌های مرتبط با صفات مورد مطالعه شده است. این روش باعث پیشرفت ژنتیکی در بسیاری از صفات مهم اقتصادی از جمله صفات ترکیبات لاشه و کیفیت گوشت خواهد شد. اساس طراحی یک مطالعه پویش کل ژنومی این است که تعدادی از افراد برای یک صفت مورد مطالعه رکورددگیری می‌شوند و سپس تعیین ژنوتیپ افراد با استفاده از یک تراشه نشانگری با پوشش کل ژنوم صورت می‌گیرد و ارتباط آماری هر یک از صفات با هر یک از نشانگرها موردن آزمون قرار می‌گیرد. در تحقیقی مطالعه پویش ژنومی یا GWAS روی صفت وزن چربی محوطه بطی مرغ انجام شد. بر اساس این نتایج، تعداد ۱۲ ناحیه ژنومی جدید مرتبط با این صفت شناسایی شد (Lamont و Abasht، ۲۰۰۷). در تحقیقی دیگر با استفاده از مطالعه پویش کل ژنومی، جایگاه‌ها و ژن‌های کاندیدای مرتبط با صفات ترکیبات بدن و کیفیت گوشت در مرغ نژاد Beijing-you چین، شناسایی شد (Liu و همکاران، ۲۰۱۳). همچنین بر اساس تحقیق جدیدتر با این روش، چند نشانگر SNP مهم برای صفات ترکیبات بدن در مرغ شناسایی گردید (Wang و همکاران، ۲۰۱۵). با توجه با اینکه والدین انتخابی در مطالعه پویش کل ژنومی باید از نظر بسیاری از صفات مورد نظر اختلاف فتوتیپی داشته باشند، خط B سویه گوشتی آرین و مرغ بومی آذربایجان غربی انتخاب شدند. خط B سویه گوشتی آرین دارای

¹- Genome wide association study (GWAS)

آنالیز GWAS بر اساس دو مدل^۱ GLM و Compressed MLM^۲ و با استفاده از نرم افزار TASSEL 5.0 انجام شد- Compressed و همکاران، ۲۰۰۷). در روش Bradbury^۳ با استفاده از الگوریتم خوش بندی افراد جمعیت گروه- بندی می‌شوند. به این ترتیب در این مدل، روابط خویشاوندی بین گروه‌ها بجای روابط خویشاوندی هر جفت از افراد برای اثرات تصادفی در نظر گرفته می‌شود و بعد ماتریس خویشاوندی کاهاش می‌یابد. در نتیجه سرعت محاسبات و قدرت آماری برای آنالیز مطالعه پویش کل ژنومی بهبود می‌یابد (Zhang و همکاران، ۲۰۱۰). در هر دو مدل جنس و نوبت جوجه کشی به عنوان اثرات ثابت در نظر گرفته شد. در مدل Compressed MLM^۴، اثرات پلی ژنیک به عنوان اثر تصادفی در نظر گرفته شد. مدل‌های آماری Compressed MLM^۵ (مدل ۱) و GLM^۶ (مدل ۲) به صورت زیر می‌باشد:

$$Y_{ijkl} = \mu + C1_i + S_j + H_k + G_l + e_{ijkl} \quad (1)$$

$$Y_{ijklm} = \mu + C1_i + S_j + H_k + G_l + U_m + e_{ijklm} \quad (2)$$

در مدل‌های بالا: Y_{ijkl} و Y_{ijklm} ارزش فنتیبی صفات، μ میانگین صفات، $C1_i$ اثر اولین جزء MDS، S_j اثر جنس، H_k اثر نوبت جوجه کشی، G_l اثر SNP، U_m مربوط به اثرات تصادفی پلی ژنیک و e_{ijkl} و e_{ijklm} اثر تصادفی باقیمانده می‌باشد. ساختار واریانس-کوواریانس اثرات پلی ژنیک به صورت (a) $\delta^2 G$ بوده که G ماتریس خویشاوندی ژنومی و $\delta^2 a$ واریانس ژنتیکی افزایشی می‌باشد. مقدار P-value با روش تصحیح بنفرونی با سطح معنی داری پنج درصد که برای عدم تعادل پیوستگی در سطح ژنوم تصحیح شده بود، محاسبه گردید. به منظور تعیین سطح آستانه P-value تعداد SNP مستقل و بلوک‌های LD بر روی کروموزوم‌های غیرجنسی محاسبه شد. برای اینکار از مجموعه SNP‌های مجاور با مقادیر r^2 بالاتر از ۰/۴ استفاده شد. تعداد ۱۱۲۹۷ نشانگر SNP مستقل و بلوک‌های LD برای صفات ترکیبات لاشه بدست آمد. دو سطح آستانه LD

ازای هر نمونه رقيق‌سازی شد و سپس لئوفیلیزه گردید. نمونه‌ها به دانشگاه Aarhus کشور دانمارک انتقال داده شد و با استفاده از تراشه SNP Beadchip (Illumina 60k Chicken) تعیین ژنوتیپ شدند. برای هر نمونه ۵۴۳۴۰ SNP تعیین ژنوتیپ شد. کنترل کیفی داده‌های ژنومی با استفاده از نرم افزار PLINK 1.07 انجام شد (Purcell و همکاران، ۲۰۰۷). پس از کنترل کیفی داده‌های اولیه، تعداد سه پرنده به دلیل اینکه بیش از ۱۰ درصد ژنوتیپ از دست رفته داشتند، حذف شدند. سپس با در نظر گرفتن SNP‌های با حداقل فراوانی آللی کمتر از سه درصد، SNP‌هایی که در کمتر از ۹۵ درصد افراد مطالعه درسطح احتمال کمتر از 10^{-6} در تعادل هاردی-واینبرگ نبودند، تعداد ۷۸۷۱ نشانگر SNP حذف شدند. در نهایت تعداد ۴۶۴۶۹ SNP مربوط به ۲۹ جفت کروموزوم (۲۸ جفت کروموزوم غیرجنسی و یک جفت کروموزوم جنسی) و دو گروه لینکازی (LGE64 و LGE22) برای آنالیزهای نهایی مورد استفاده قرار گرفت. در این تحقیق ساختار جمعیتی با استفاده از آنالیز^۷ MDS مورد بررسی قرار گرفت. تعداد SNP مستقل بر اساس همه کروموزوم‌های غیرجنسی با استفاده از اندازه پنجره ۳۰ نشانگر SNP با گامهای پنج تایی و r^2 با سطح آستانه ۰/۰۰۰ انجام شد. با استفاده از تعداد SNP مستقل، ماتریس IBS محاسبه شد و براساس این ماتریس اجزاء MDS برآورد گردید. در نتایج حاصل از آنالیز MDS اولین ستون، مربوط به زیر جمعیت منتب به هر یک از افراد جمعیت می‌باشد که به عنوان اولین جزء یا سطح اول آزمون MDS می‌باشد که در مدل‌های خطی به عنوان یک عامل کواریت (اثر کمکی)، جهت تصحیح اثر ساختار جمعیتی در مطالعه پویش کل ژنومی مورد استفاده قرار می‌گیرد. همچنین ماتریس خویشاوندی ژنومی با استفاده از نشانگرها SNP مستقل تشکیل شد و در مدل آماری جهت تصحیح اثرات تصادفی پلی ژنیک منظور گردید (Van Raden، ۲۰۰۸).

1 - Multi Dimensional Scaling (MDS)

2- General Linear Model (GLM)

3- Compressed MLM (CMLM)

تعداد زیر جمعیت ها نسبت به تعداد خانواده های موجود در جمعیت مورد مطالعه شده بود. دو روش آماری GLM و CMLM برای آنالیز وجود ارتباط بین SNP ها و فنوتیپ های مورد نظر بکار گرفته شد. تفاوت این دو مدل به توانایی آن ها در تصحیح اریب های ناشی از لا یه بندی جمعیت، روابط خویشاوندی ناشناخته و خطای ناشی از تکنیک تعیین ژنوتیپ می باشد (Wang و همکاران، ۲۰۱۵). برای صفات مورد مطالعه در این تحقیق میانگین فاکتور تورم ژنومی یا λ برای مدل CMLM عدد ۱/۰۰۳ و برای مدل GLM عدد ۱/۱۳۱ بدست آمد. لذا، روش CMLM با در نظر گرفتن روابط خویشاوندی بین افراد و کنترل اثرات مربوط به GLM ساختار جمعیتی، خطای مثبت را نسبت به مدل ثابت CMLM بیشتر کاهش داده است (شکل ۲). از طرفی نتایج تحقیقات نشان داده است که روش CMLM باعث افزایش خطای منفی در مطالعه پویش کل ژنومی می گردد و ممکن است برخی از SNP های مهم وجود داشته باشد، ولی با این مدل معنی دار نشود - Hang (همکاران، ۲۰۱۰). لذا برای کاهش خطای منفی در Animal qtlDb نیز استفاده می شود (Liu و همکاران، ۲۰۱۳؛ Sun و همکاران، ۲۰۱۵).

احتمال شامل سطح احتمال معنی داری $\leq 4/426 \times 10^{-6}$ و سطح احتمال پیشنهادی $\leq 8/851 \times 10^{-5}$ برای P-value در سطح ژنوم برای این صفات مشخص گردید. بر اساس نتایج P-value پلات منهن λ و پلات Q-Q برای هر یک از صفات با استفاده از قدرت R ۳.۲.۲ نرم افزار qqman (Turner، ۲۰۱۴) است. همچنین آماره λ یا فاکتور تورم ژنومی λ برای هر یک از صفات با استفاده از بسته gap نرم افزار R محاسبه گردید (Zhao، ۲۰۰۷) موقعیت SNP های معنی دار در سطح ژنوم مرجع گونه مرغ با استفاده از پایگاه اطلاعاتی NCBI مشخص گردید (NCBI Resource coordinators، ۲۰۱۳). سپس از پایگاه اطلاعاتی Ensembl برای شناسایی ژنهای بالادست و پایین Yates دست در هر یک از نواحی ژنومی مورد نظر استفاده شد (Yates و همکاران، ۲۰۱۶). عملکرد مولکولی و بیولوژیکی هر یک از ژن ها، با استفاده از پایگاه اطلاعاتی Uniprot مورد بررسی قرار گرفت (Pundir و همکاران، ۲۰۱۵) و در نهایت به منظور بررسی وجود QTL از پایگاه اطلاعاتی Animal qtlDb استفاده شد (Hu و همکاران، ۲۰۱۶).

نتایج و بحث

آماره های توصیفی رکوردهای فنوتیپی مربوط به صفات وزن و درصد ترکیبات لاشه در پرنده های جمعیت F2 در جدول ۱ نشان داده شده است.

برای آنالیز MDS از تعداد ۴۴۰۹ SNP نشانگر r^2 بالاتر از ۰/۲ برای صفات ترکیبات لاشه استفاده شد. نتایج آنالیز MDS برای صفات ترکیبات لاشه و کیفیت گوشت، وجود ۵ زیر جمعیت را در جمعیت مورد مطالعه نشان داد (شکل ۱). به دلیل وجود روابط خویشاوندی در بین خانواده ها به دلیل محدود بودن تعداد پرنده های F1 و نسل والدین، کاهش قدرت باروری و جوجه درآوری برخی از مرغ ها و خروس ها، احتمالاً باعث کاهش

1 - Significance

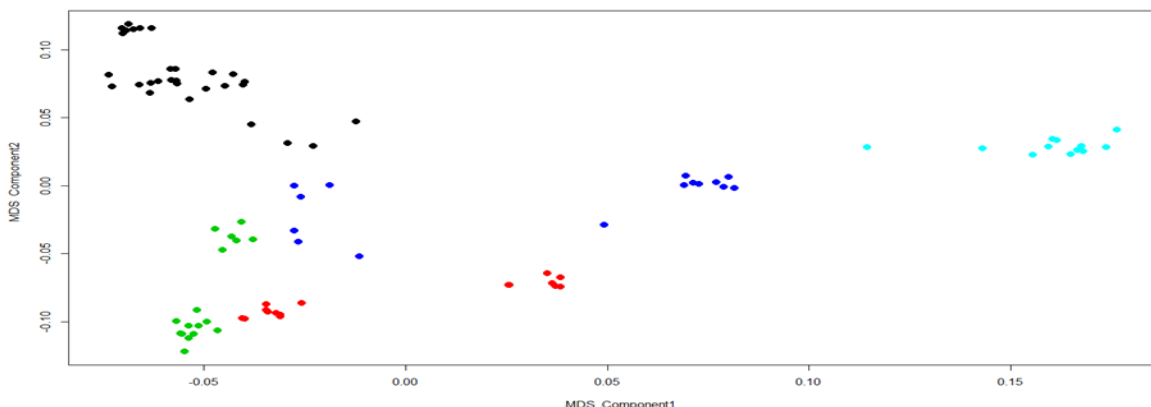
2 - Suggestive

3- Manhattan plot

4- Genomic inflation factor

جدول ۱- آماره‌های توصیفی صفات وزن و درصد ترکیبات لاشه در جمعیت F2

صفت	تعداد رکورد	میانگین \pm خطای استاندارد	انحراف معیار	ضریب	حداقل	حداکثر
				تغیرات		
وزن لاشه (گرم)	۹۶	۱۹۸۰/۳۰ \pm ۴۳/۹۰	۴۲۳/۴۰	۲۱/۳۸	۷۹۰	۲۹۳۰
وزن سینه (گرم)	۹۶	۵۱۷/۲۰ \pm ۱۲/۷۰	۱۲۲/۷۰	۲۳/۷۳	۱۹۰	۷۹۸
وزن ران (گرم)	۹۶	۵۲۸/۴۰ \pm ۱۴/۱۰	۱۳۵/۸۰	۲۵/۷۱	۱۹۵	۸۸۴
درصد لاشه	۹۶	۷۰/۷۱ \pm ۰/۳۵	۳/۴۱	۴/۸۳	۵۶/۷۵	۷۵/۶۵
درصد سینه	۹۶	۲۶/۰۷ \pm ۰/۲۱	۲/۴۳	۹/۳۴	۱۶/۷۴	۳۲/۱۵
درصد ران	۹۶	۲۶/۵۴ \pm ۰/۲۱	۲/۵۹	۹/۷۶	۱۱/۵۷	۳۳/۷۱



شکل ۱- ساختار جمعیتی برای صفات ترکیبات لاشه با استفاده از آنالیز MDS

آنالیز GWAS برای صفت وزن و درصد لاشه

انسولین، نقش تنظیمی مثبت به اشتها، نقش تنظیمی مثبت در رشد اندام‌های بدن و نقش تنظیمی مثبت برای گیرنده هورمون IGF می‌باشد (Obholz و همکاران، ۲۰۰۶). نشانگر Gga_rs13711265 در موقعیت ۵/۴۹ Mb قرار گرفته است. این ژن شماره ۱۱ و در پایین دست ژن SALL1 قرار دارد. این ژن در رشد و نمو اندام‌های گوارشی جنین، مورفولوژی اندام‌های بدن و رشد و نمو قلب نقش ایفا می‌کند (UniProt Consortium، ۲۰۱۵). برای صفت وزن لاشه با استفاده از روش CMLM، هیچ نشانگر SNP در سطح احتمال پیشنهادی و معنی‌داری شناسایی نشانگر

GWAS برای صفت وزن لاشه با استفاده از روش GLM، تعداد دو SNP پیشنهادی روی کروموزوم‌های شماره ۹ و ۱۱ شناسایی گردید. نشانگر Gga_rs14679097 در موقعیت ۱۸/۸۹ Mb روی کروموزوم ۹ و در داخل ژن FNDC3B قرار دارد. این ژن نقش تنظیمی مثبت در تکثیر فیروblast‌ها و تشکیل بافت چربی داشته و در تمایز سلول‌های استخوانی نقش تنظیمی منفی ایفا می‌کند. در ناحیه بالا دست این ژن با فاصله ۳/۴۸ Kb قرار گرفته است که دارای چندین عملکرد بیولوژیکی شامل: پلیمریزه کردن اکتن، پاسخ سلولی به ترشح

همکاران، ۲۰۰۷). با توجه به اینکه دو نشانگر شناسایی شده بر روی کروموزوم ۵ در محدوده و مجاورت دو QTL مرتبط با این صفت قرار دارد، می‌توان به اهمیت این ناحیه ژنومی در ارتباط با صفت لашه در مرغ تاکید نمود. نشانگر Gga_rs13856806 روی کروموزوم شماره ۱ و در موقعیت Mb ۴۱/۰۵، در بالادست ژن TMTC2 قرار گرفته است. این ژن در توازن یون کلسیم نقش دارد (Broer و همکاران، ۲۰۰۶). یک QTL در محدوده ۲۵/۷-۱۳۹/۸ Mb بر روی کروموزوم شماره ۱ وجود دارد که با صفت وزن لاشه مرغ ارتباط دارد (Nassar و همکاران، ۲۰۱۲). نشانگر GGaluGA062313 در موقعیت Mb ۱۸۸/۶۳ روی کروموزوم شماره ۱ و در داخل ژن DLG2 قرار گرفته است. عملکرد بیولوژیکی این ژن در فرایند متابولیکی گوانوزین دی GaluGA294855 و فسفات می‌باشد. نشانگرهای GGaluGA294855 و Gga_rs16531852 روی کروموزوم شماره ۶، محدوده ۰/۳۹ Mb را تشکیل می‌دهند. نشانگر LOC101752261 در داخل ژن GGaluGA294855 قرار گرفته است که برای این ژن نقش خاصی در طیور شناسایی نشده است. در ناحیه بالادست این نشانگر در فاصله Kb ۲۸/۶۸ ژن MAT1A قرار دارد که در بیوستر اسیدهای آمینه مشارکت RET دارد. نشانگر Gga_rs16531852 در داخل ژن GGaluGA291087 قرار گرفته و پروتئین حاصل از این ژن به عنوان گیرنده در تشکیل آناتومی بدن، تشکیل اندام‌های گوارشی، فسفوریلاسیون پپتیدها و در پیوند سلول‌ها به همدیگر و تعیین اندازه سلول‌ها در بافت‌ها مشارکت دارد (Hillier و همکاران، ۲۰۰۴). نشانگر Gga_rs14490249 در موقعیت Mb ۷۳/۴۰ روی کروموزوم شماره ۴ و در بالادست ژن DHX15 قرار گرفته است که به عنوان کاتالیزور در تبدیل مولکول ATP به مولکول ADP و فسفات نقش دارد (Huttlin و همکاران، ۲۰۱۰).

نشد. نتایج آنالیز GWAS برای صفت درصد لاشه با استفاده از روش CMLM، وجود تعداد ۷ نشانگر SNP پیشنهادی را روی کروموزوم‌های شماره ۱، ۴، ۵ و ۶ نشان داد (جدول ۲). نشانگر Gga_rs16473444 در موقعیت Mb ۱۶/۹۰ قرار-کروموزوم شماره ۵ و در داخل ژن LOC107053430 قرار-گرفته است. برای این ژن نقش خاصی در طیور شناسایی نشده است. ژن FGF4 در ناحیه بالادست این ژن و در فاصله Kb ۶/۵۷ در ناسیه بالادست این ژن و در فاصله ۶۵۷ FGF3 با عملکرد از این نشانگر قرار گرفته است. این ژن نقش مهمی در رشد اندام‌های بدن، تکثیر و تمایز سلول‌ها و رشد و نمو جنین دارد. همچنین این ژن در مسیر بیوشیمیایی فاکتور رشد فیبروبلاست به عنوان گیرنده پیام مشارکت دارد. ژن دیگری بنام FGF4 با عملکرد بیولوژیکی مشابه ژن FGF3 در ناسیه پایین دست و در فاصله Kb ۱۵/۲۴ از نشانگر قرار گرفته است (Mahmood و همکاران، ۱۹۹۵). یک QTL در موقعیت Mb ۵۹/۹-۱۱/۶ قرار گرفته است که در محدوده ژنومی این QTL در محدوده ۱۵/۵-۱۵/۶ Mb روی کروموزوم شماره ۵ وجود دارد که با صفت وزن لاشه مرغ ارتباط دارد (Nassar و همکاران، ۲۰۱۲). نشانگر شناسایی شده در این تحقیق، در محدوده ژنومی این QTL قرار گرفته است. همچنین یک QTL دیگر در موقعیت Mb ۱/۳ در فاصله آن با نشانگر شناسایی شده، Mb ۵۵/۹۱ در موقعیت GGaluGA291087 و همکاران، ۲۰۰۶ نشانگر McElroy در موقعیت Mb ۵۵/۹۱ بر روی کروموزوم شماره ۵ و در بالادست ژن PELI2 قرار گرفته است. این ژن در فسفوریلاسیون پروتئین‌ها و ایجاد تغییرات پس از ترجمه در پروتئین‌ها نقش ایفا می‌کند (UniProt Consortium، ۲۰۱۵). همچنین در ناحیه TBPL2 قرار دارد که به عنوان یک فاکتور رونویسی در تمایز سلول‌های عضلانی و رشد و نمو اندام‌های بدن مشارکت دارد (Di Pietro و

جدول ۲- موقعیت SNP و ژن‌های مرتبط بر اساس سطح معنی‌داری برای صفت درصد لاشه با روش CMLM

-log ₁₀ (P)	P-value	نام ژن	موقعیت و فاصله SNP نسبت به ژن	نوع آلل	موقعیت SNP ژنومی کروموزوم (جفت باز)	شماره	SNP نام
۴/۴۶	۳/۶۴ × ۱۰ ^{-۵}	LOC107053430	داخل ژن	C/T	۱۶۹۰۱۶۱۸	۵	Gga_rs16473444
۴/۱۰	۷/۸۷ × ۱۰ ^{-۵}	PELI2	بالادرست-Kb	A/G	۵۵۹۱۵۵۲۸	۵	GGaluGA291087
۴/۳۴	۴/۶۱ × ۱۰ ^{-۵}	TMTC2	بالادرست-Kb	A/G	۴۱۰۵۷۶۱۴	۱	Gga_rs13856806
۴/۲۹	۵/۱۰ × ۱۰ ^{-۵}	DLG2	داخل ژن	C/T	۱۸۸۶۳۶۰۰۶	۱	GGaluGA062313
۴/۱۴	۷/۱۹ × ۱۰ ^{-۵}	LOC101752261	داخل ژن	C/T	۳۹۶۰۷۰۸	۶	GGaluGA294855
۴/۱۲	۷/۵۲ × ۱۰ ^{-۵}	RET	داخل ژن	C/T	۴۳۵۷۷۲۸۶	۶	Gga_rs16531852
۴/۰۶	۸/۸۱ × ۱۰ ^{-۵}	DHX15	بالادرست-Kb	A/G	۷۳۴۰۰۴۸۴	۴	Gga_rs14490249

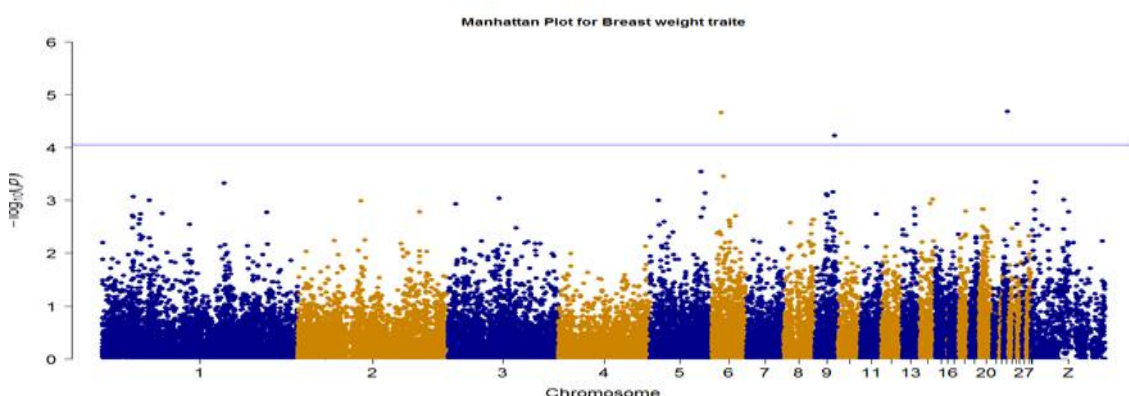
آنالیز GWAS برای صفت وزن و درصد سینه

(۰/۳ Mb) از این QTL قرار گرفته است که، نشاندهنده اهمیت این ناحیه ژنومی در ارتباط با صفت وزن و درصد عضله سینه می-باشد. نشانگر Gga_rs14679097 روی کروموزوم شماره ۹ یک نشانگر مشترک در صفات وزن لاشه و وزن سینه می-باشد. با توجه به همبستگی فتوتیپی و ژنتیکی بالا در بین این صفات، وجود نشانگرهای مشترک برای این دو صفت قابل توجیه است. با مطالعه پویش کل ژنومی برای صفت درصد سینه با استفاده از مدل GLM، وجود تعداد چهار SNP پیشنهادی روی کروموزوم‌های ۱، ۶، ۸ و Z مشخص گردید. نشانگر GGaluGA051504 روی کروموزوم شماره ۱ و در داخل ژن UCHL3 قرار گرفته است. برای این ژن عملکرد مشخصی شناسایی نشده است. در بالادرست این ژن، ژن Setsuie مشخصی شناسایی نشده است. در مراحل کاتابولیکی پروتئین‌ها و پاسخ سلولی به ترشح انسولین نقش ایفا می‌کند (McElroy و همکاران، ۲۰۰۶).

با آنالیز GWAS برای صفت وزن سینه با استفاده از روش GLM، تعداد سه SNP پیشنهادی روی کروموزوم‌های ۶، ۹ و ۲۳ شناسایی شد (شکل ۲). نشانگر GGaluGA189151 روی کروموزوم شماره ۲۳ و در موقعیت ۳/۷۴ Mb در بالادرست ژن ZC3H12A قرار گرفته است (جدول ۳). این ژن در تمایز سلولی و پلیمریزه کردن پروتئین نقش دارد (UniProt Consortium، ۲۰۱۵). نشانگر Gga_rs15776357 در موقعیت ۹/۲ Mb در بالادرست ژن SLC4A1 قرار-گرفته است. این ژن در ساختار پروتئین‌ها از جمله سلول‌های عضلانی و هموگلوبین نقش ایفا می‌کند (Hillier و همکاران، ۲۰۰۴). یک QTL در محدوده ۸/۸-۸/۹ Mb در محدوده ۶ وجود دارد که با صفت درصد عضله سینه کروموزوم شماره ۶ مرتبط است. در مطالعه حاضر با فاصله نزدیک نشانگر Gga_rs15776357 در مطالعه حاضر با فاصله نزدیک

است. در ناحیه بالادست این ژن و با فاصله اندازه 16.07 Kb ، ژن GLMN قرار دارد که این ژن در رشد و نمو سلول‌های عضلانی و فسفوریلاسین پروتئین همان نقش دارد (UniProt Consortium) (۲۰۱۵). دو QTL به ترتیب در محدوده‌های $12.6-21.3\text{ Mb}$ و $8.4-28.8\text{ Mb}$ بر روی کروموزوم شماره ۸ وجود دارند که با صفت وزن عضله سینه مرغ ارتباط دارد (Gao و همکاران، ۲۰۰۹؛ Ikeobi و همکاران، ۲۰۰۴). نشانگر Gga_rs15992576 در تحقیق حاضر در محدوده این دو QTL قرار گرفته و نشان می‌دهد که این ناحیه ژنومی در ارتباط با صفت وزن و درصد سینه می‌باشد. نشانگر Gga_rs15776357 یک نشانگر مشترک برای دو صفت وزن و درصد سینه می‌باشد که بر روی کروموزوم شماره ۶ قرارداد و عملکرد مولکولی ژن مربوطه تشریح گردید. برای صفت درصد سینه با استفاده از مدل CMLM، هیچ نشانگر SNP در سطح احتمال پیشنهادی و معنی‌داری شناسایی نشد.

همکاران، (۲۰۱۰). یک QTL در محدوده $155-155.1\text{ Mb}$ بر روی کروموزوم شماره ۱ وجود دارد که با صفت وزن عضله سینه مرغ ارتباط دارد (Atzmon و همکاران، ۲۰۰۶). نشانگر GGaluGA051504 در این مطالعه با فاصله 0.3 Mb از این QTL قرار گرفته است. لذا می‌توان نتیجه گرفت که این ناحیه ژنومی در بروز فنتوپیی عضله سینه نقش دارد. نشانگر PGGT1B از این ژن در ناحیه بالادست، ژن Z در داخل ژن CCDC112 قرار گرفته است. برای این ژن عملکرد مشخصی در طیور و سایر گونه‌ها گزارش نشده است. در PGGT1B قرار گرفته است که نقش تنظیمی مثبت در فرایند چرخه سلولی و تکثیر سلول‌ها داشته و در اتصال پیتیدها و تغییرات پس از ترجمه پروتئین‌ها مشارکت دارد (Carninci و همکاران، ۲۰۰۵). نشانگر Gga_rs15992576 در موقعيت 13.19 Mb روی کروموزوم شماره ۸ در داخل ژن KIAA1107 قرار گرفته است. برای این ژن نیز عملکرد مشخصی در طیور و سایر گونه‌ها گزارش نشده



شکل ۲- پلات منهتن ترسیم شده برای صفت وزن سینه با استفاده از روش GLM

جدول ۳- موقعیت SNP و ژن‌های مرتبط بر اساس سطح معنی‌داری برای صفت وزن و درصد سینه با روش GLM

-log10 (P)	P-value	نام ژن	موقعیت و فاصله SNP نسبت به ژن	نوع آلل	موقعیت ژنومی (جفت باز) SNP	شماره کروموزوم	نام SNP	صفت	وزن
۴/۶۸	$۲/۰۸ \times 10^{-۵}$	ZC3H12A	- پایین دست - ۱۵/۱۰ Kb	A/G	۳۷۴۷۴۲۵	۲۳	GGaluGA189151	سینه	
۴/۶۶	$۲/۱۷ \times 10^{-۵}$	SLC4A1	- بالا دست - ۱/۰۲ Kb	A/G	۹۲۰۲۷۷۱	۶	Gga_rs15776357		
۴/۲۲	$۵/۹۰ \times 10^{-۵}$	FNDC3B	داخل ژن	C/T	۱۸۸۹۷۳۱۵	۹	Gga_rs14679097		
۵/۱۹	$۶/۴۳ \times 10^{-۶}$	LOC101747840	داخل ژن	C/T	۱۵۴۴۰۷۸۴۳	۱	GGaluGA051504	درصد	
۴/۸۸	$۱/۳۲ \times 10^{-۵}$	SLC4A1	- بالا دست - ۱/۰۲ Kb	A/G	۹۲۰۲۷۷۱	۶	Gga_rs15776357	سینه	
۴/۸۷	$۱/۳۴ \times 10^{-۵}$	CCDC112	داخل ژن	A/G	۷۸۶۵۱۴۷۷	۳۹	Gga_rs15992576		
۴/۵۴	$۲/۸۹ \times 10^{-۵}$	KIAA1107	داخل ژن	A/G	۱۳۱۹۹۲۲۵	۸	Gga_rs14643031		

آفایز GWAS برای صفت وزن و درصد ران

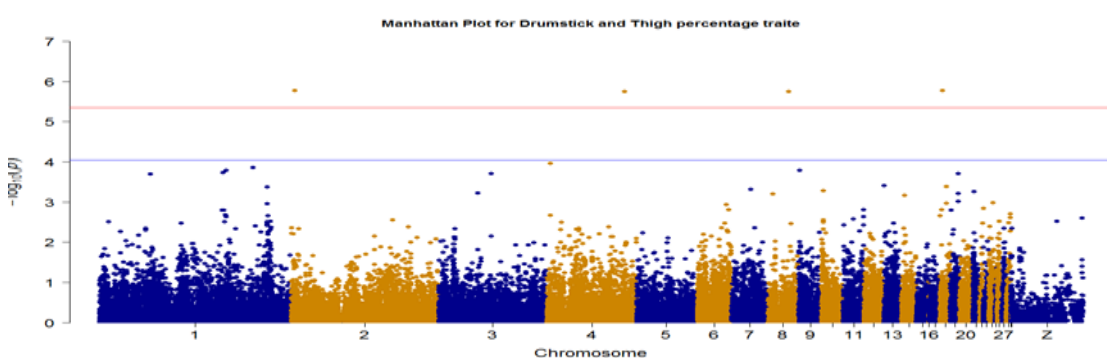
۲۰۱۰). نشانگر Gga_rs13933348 شناسایی شده در تحقیق حاضر، در محدوده این QTL قرار دارد که تاییدی بر ارتباط این ناحیه ژنومی با صفت وزن ران می‌باشد. نشانگر GGaluGA020594 روی کروموزوم شماره ۱ و در موقعیت ۱۲۱/۷ Mb در داخل ژن DENND5B قرار دارد. این ژن در تشخیص محرک‌های مکانیکی، انتقال یون کلسیم در غشاء سلول و فعالیت آنزیم GTPase مشارکت دارد. آنزیم GTPase در بیوستر پروتئین‌ها، انتقال پروتئین‌ها از طریق غشای سلول و تمایز سلول‌ها در مراحل تقسیم سلولی نقش ایفا می‌کند (UniProtConsortium, ۲۰۱۵). سه QTL در محدوده

نتایج مطالعه پویش کل ژنومی برای صفت وزن ران با استفاده از مدل GLM تعداد سه SNP پیشنهادی روی کروموزوم‌های ۱ و ۶ شناسایی شد (جدول ۴). نشانگر Gga_rs13933348 در موقعیت ۱۲۱/۷ Mb روی کروموزوم شماره ۱ و در داخل ژن MOSPD2 قرار دارد. این ژن نقش مشخصی در طیور ندارد. در ناحیه بالا دست این ژن و در فاصله ۱۶۹/۵ Kb، ژن ASB9 قرار دارد که در مراحل کاتابولیسم و تغییرات پس از ترجمه پروتئین‌ها نقش دارد (Kile و همکاران، ۲۰۰۱). یک QTL در محدوده ۱۱۳۰/۲-۱۱۳۳ Mb روی کروموزوم شماره ۱ وجود دارد که با صفت وزن استخوان ران مرغ ارتباط دارد (Zhang و همکاران، ۲۰۰۱).

با آنالیز GWAS برای صفت درصد ران با استفاده از مدل CMLM، تعداد چهار SNP معنی‌دار روی کروموزوم‌های ۲، ۴، ۱۸ و ۲۸ شناسایی شد (شکل ۳). نشانگر Gga_rs15037034 در موقعیت ۲/۱۳ Mb روی کروموزوم ۱۸ و در داخل ژن STX8 قرار دارد. این ژن در استقرار پروتئین در سطح غشای سلول و انتقال پروتئین در داخل سلول مشارکت دارد (Church و همکاران، ۲۰۰۹). نشانگر Gga_rs14129709 روی کروموزوم شماره ۲ در موقعیت ۳/۵۳ Mb در داخل ژن TBC1D5 قرار دارد. این ژن در فعال کردن آنزیم GTPase و انتقال پروتئین‌ها مشارکت دارد (Hillier و همکاران، ۲۰۰۴). یک QTL در موقعیت ۳/۸ روی کروموزوم شماره ۲ وجود دارد که با صفت درصد ران مربوط است (Fornari و همکاران، ۲۰۱۴). همچنین یک QTL در محدوده ۲/۵-۳۷/۱ Mb روی کروموزوم شماره ۲ وجود دارد که با صفت وزن ران مربوط است (Ikeobi و همکاران، ۲۰۰۴). نشانگر شناسایی شده در این تحقیق در محدوده سه QTL مرتبط با وزن و درصد ران مرغ قرار دارد. نشانگر GGALU-GA266807 در داخل ژن ZBTB49 و در موقعیت ژنومی ۷۸/۱۲ Mb روی کروموزوم شماره ۴ قرار دارد.

صفت وزن ران مرغ ارتباط دارد (De Koning و همکاران، ۲۰۰۴؛ Ikeobi و همکاران، ۲۰۰۴؛ Nones و همکاران، ۲۰۰۵). یک QTL دیگر در محدوده ۳۸/۷-۹۹/۱ Mb روی کروموزوم شماره ۱ وجود دارد که با صفت وزن ران مرغ ارتباط دارد (Nassar و همکاران، ۲۰۱۲). نشانگر GGALU-GA020594 در مطالعه حاضر در محدوده این چهار QTL قرار دارد و نشان می‌دهد این ناحیه ژنومی با صفت وزن ران ارتباط دارد. نشانگر GGALU-GA296508 در موقعیت REEP3 روی کروموزوم شماره ۶ در داخل ژن ۷/۲۵ Mb قرار دارد. این ژن در تقسیم سلولی نقش دارد (Hillier و همکاران، ۲۰۰۴). یک QTL در محدوده ۸/۳-۸/۴ Mb روی کروموزوم شماره ۶ وجود دارد که با صفت درصد ران مرغ ارتباط دارد (Zhou و همکاران، ۲۰۰۶).

برای صفت وزن ران تنها نشانگر Gga_rs13933348 روی کروموزوم شماره ۱ با مدل CMLM در سطح احتمال پیشنهادی شناسایی شد ($P\text{-value} = 8/43 \times 10^{-5}$).



شکل ۳- پلات منهتن ترسیم شده برای صفت درصد ران با استفاده از روش CMLM

جدول ۴- موقعیت SNP و ژن‌های مرتبط بر اساس سطح معنی‌داری صفت وزن (روش GLM) و درصد ران (CMLM)

-log10 (P)	P-value	نام ژن	موقعیت و فاصله SNP نسبت به ژن	نوع آلل	موقعیت ژنومی SNP (جفت باز)	شماره کروموزوم	نام SNP	صفت
۴/۴۱	$۳/۸۵ \times 10^{-۵}$	MOSPD2	داخل ژن	G/T	۱۲۱۷۰۱۴۹۵	۱	Gga_rs13933348	وزن
۴/۱۰	$۷/۸۰ \times 10^{-۵}$	DENND5B	داخل ژن	A/G	۵۹۶۰۷۸۱۴	۱	GGaluGA020594	ران
۴/۲۸	$۵/۲۰ \times 10^{-۵}$	REEP3	داخل ژن	A/G	۷۲۵۱۲۹۵	۶	GGaluGA296508	
۵/۷۸	$۱/۶۵ \times 10^{-۶}$	STX8	داخل ژن	A/G	۲۱۳۴۳۳۳	۱۸	Gga_rs15037034	درصد
۵/۷۸	$۱/۶۵ \times 10^{-۶}$	TBC1D5	داخل ژن	C/T	۳۵۳۰۴۶۴	۲	Gga_rs14129709	ران
۵/۷۶	$۱/۷۴ \times 10^{-۶}$	ZBTB49	داخل ژن	A/G	۷۸۱۲۱۵۸۴	۴	GGaluGA266807	
۵/۷۵	$۱/۷۷ \times 10^{-۶}$	ST3GAL3	داخل ژن	G/T	۱۹۱۳۶۱۴۳	۸	Gga_rs16637759	

ST3GAL3 قراردادارد. پروتئین حاصل از این ژن در فرایند اضافه کردن کربوهیدرات‌ها به مولکول پروتئینی مشارکت دارد. دو QTL در محدوده ژنومی ۸/۴-۲۸/۸ Mb روی کروموزوم شماره ۸ وجود دارد که به ترتیب با صفت وزن ران و وزن استخوان درشت نی مرغ ارتباط دارد (Ikeobi و همکاران، ۲۰۰۴؛ Sharman و همکاران، ۲۰۰۷). همچنین یک QTL در محدوده ژنومی ۷-۲۸/۸ Mb روی کروموزوم ۸ وجود دارد که با صفت وزن ران مرغ ارتباط دارد (Nassar و همکاران، ۲۰۱۲). قرار گرفتن نشانگر شناسایی شده در مطالعه حاضر در محدوده ۸ QTL گزارش شده، می‌تواند تاییدی بر اهمیت این ناحیه ژنومی در ارتباط با صفت وزن و درصد وزن ران باشد.

این ژن به عنوان یک فاکتور رونویسی، نقش تنظیمی منفی در تکثیر سلولها در مراحل تقسیم سلولی دارد. در ناحیه بالادست این ژن و در فاصله ۰/۲ Mb، ژن WDR1 قرار گرفته است که در سازماندهی سلول‌های عضلانی اکتین و سارکومر(واحد عضلانی) و همچنین در غیرپلاریزه کردن فیلامنت‌های عضلانی مشارکت دارد (Adler و همکاران، ۱۹۹۹). یک QTL در موقعیت ژنومی ۴۶/۷-۸۸/۴ Mb روی کروموزوم شماره ۴ وجود دارد که با صفت وزن ران مرغ ارتباط دارد (Ikeobi و همکاران، ۲۰۰۴). نشانگر GGaluGA266807 در مطالعه حاضر در محدوده این QTL بوده و نشان می‌دهد که این ناحیه ژنومی در بروز فتوتیپی عضله ران اهمیت دارد. نشانگر Gga_rs16637759 روی کروموزوم شماره ۸ و در موقعیت ۱۹/۱۳ Mb، در داخل ژن

نتیجه‌گیری

قرار گرفتن این نشانگرها و ژنهای کاندیدای شناسایی شده در محدوده چند QTL مهم و توجیه بخشی از واریانس فنوتیپی صفات مورد نظر، امکان استفاده از این اطلاعات در برنامه‌های انتخاب طیور بر اساس انتخاب به کمک نشانگر و پیشرفت ژنتیکی سریعتر وجود دارد.

با توجه به عملکرد بیولوژیکی ژن‌های کاندیدای شناسایی شده، به نظر می‌رسد این ژن‌ها در بروز فنوتیپی صفات ترکیبات لاشه نقش ایفا می‌کنند. لذا می‌توان از این اطلاعات جدید در تشریح مکانسیم مولکولی هر یک از صفات مورد مطالعه بهره برد. همچنین با توجه به

منابع

- Abasht, B. and Lamont, S. J. (2007). Genome-Wide Association Study of Fatness in Chickens. *Animal Industry Report*: AS 653, ASL R2218. Available at: http://lib.dr.iastate.edu/ans_air/vol653/iss1/4.
- Adler, H.J., Winnicki, R.S., Gong, T.W.L. and Lomax, M.I. (1999). A gene upregulated in the acoustically damaged chick basilar papilla encodes a novel WD40 repeat protein. *Genomics*, 56:59-69.
- Atzmon, G., Ronin, Y.I., Korol, A., Yonash, N., Cheng, H. Hillel, J. (2006). QTLs associated with growth traits and abdominal fat weight and their interactions with gender and hatch in commercial meat-type chickens. *Animal genetics*, 37(4): 352-8.
- Bradbury, P.J., Zhang, Z., Kroon, D.E., Casstevens, T.M., Ramdoss, Y. and Buckler, E.S. (2007). TASSEL: software for association mapping of complex traits in diverse samples. *Bioinformatics*, 23(19):2633-2635.
- Broer, A., Tietze, N., Kowalcuk, S., Chubb, S., Munzinger, M., Bak, L.K. and Broer, S. (2006). The orphan transporter v7-3 (slc6a15) is a Na⁺-dependent neutral amino acid transporter. *Biochemistry Journal*, 393:421-430.
- Carninci, P., Kasukawa, T., Katayama, S., Gough, J., Frith, M.C., Maeda, N., Oyama, R., Ravasi, T., Lenhard, B., Wells, C., Kodzius, R., Shimokawa, K., Bajic, V.B., Brenner, S.E., Batalov, S., Forrest, A.R., Zavolan, M., Davis,
- M.J. and Hayashizaki Y. (2005). The transcriptional landscape of the mammalian genome. *Science*, 309:1559-1563.
- Church, D.M., Goodstadt, L., Hillier, L.W., Zody, M.C., Goldstein, S., She, X., Bult, C.J., Agarwala, R., Cherry, J.L., DiCuccio, M., Hlavina, W., Kapustin, Y., Meric, P., Maglott, D., Birtle, Z., Marques, A.C., Graves, T., Zhou, S. and Ponting, C.P. (2009). Lineage-specific biology revealed by a finished genome assembly of the mouse. *PLoS Biology*, 7:E1000112.
- De Koning, D.J., Haley, C.S., Windsor, D., Hocking, P.M., Griffin, H., Morris, A., Vincent, J. and Burt, D.W. (2004). Segregation of QTL for production traits in commercial meat-type chickens. *Genetical Research*, 83(3): 211-20.
- Demeure, O., Duclos, M. J., Bacciu, N., Mignon, G. L., Filangi, O., Pitel, F., Boland, A., Lagarrigue, S., Cogburn, L. A., Simon, J., Roy, P. L. and Bihan-Duval, E.L. (2013). Genome wide interval mapping using SNPs identifies new QTL for growth, body composition and several physiological variables in an F2 intercross between fat and lean chicken lines. *Genetic Selection Evolution*, 45: 36.
- Di Pietro, C., Ragusa, M., Duro, L., Guglielmino, M.R., Barbagallo, D., Carnemolla, A., Lagana, A., Buffa, P., Angelica, R., Rinaldi, A., Calafato, M.S., Milicia, I., Caserta, C., Giugno, R., Pulvirenti, A., Giunta, V., Rapisarda, A.

- and Purrello, M. (2007). Genomics, evolution, and expression of TBPL2, a member of the TBP family. *DNA Cell Biology*, 26:369-385.
- Fornari, M.B., Zanella, R., Ibelli, A.M., Fernandes, L.T., Cantão, M.E., Thomaz-Soccol, V., Ledur, M.C., Peixoto, J.O. (2014). Unraveling the associations of osteoprotegerin gene with production traits in a paternal broiler line. *Springer Plus*, 3: 682.
- Gao, Y., Du, Z.Q., Wei, W.H., Yu, X.J., Deng, X.M., Feng, C.G., Fei, J., Feng, J.D., Li, N. and Hu, X.X. (2009). Mapping quantitative trait loci regulating chicken body composition traits. *Animal genetics*, 40(6):952-4.
- Hang, X.H., Wei, X.H., Sang, T., Zhao, Q.A., Feng, Q., Zhao, Y., Li, C., Zhu, C., Lu, T. and Zhang, Z. (2010). Genome-wide association studies of 14 agronomic traits in rice *Iandraces*. *Natural genetics*, 42:961-976.
- Hillier, L.W., Miller W., Birney, E., Warren, W., Hardison, R.C., Ponting, C.P., Bork, P., Burt, D.W., Groenen, M.A.M., Delany, M.E., Dodgson, J.B., Chinwalla, A.T., Cliften, P.F., Clifton, S.W., Delehaunty, K.D., Fronick, C., Fulton, R.S., Graves, T.A. and Wilson, R.K. (2004). Sequence and comparative analysis of the chicken genome provide unique perspectives on vertebrate evolution. International Chicken Genome Sequencing Consortium. *Nature*, 432:695-716.
- Hu, Z.L., Park, C.A. and Reecy, J.M. (2016). Developmental progress and current status of the Animal QTLdb. *Nucleic Acids Research*, 44 (D1): D827-D833.
- Hutlin, E.L., Jedrychowski, M.P., Elias, J.E., Goswami, T., Rad, R., Beausoleil, S.A., Villen, J., Haas, W., Sowa, M.E. and Gygi, S.P. (2010). A tissue-specific atlas of mouse protein phosphorylation and expression. *Cell*, 143:1174-1189.
- Ikeobi, C.O.N., Woolliams, J. A., Morrice, D. R., Law, A., windsor, D., Burt, D. W. and Hocking, P. M. (2004). Quantitative trait loci for meat yield and muscle distribution in a broiler layer cross. *Livestock Production Science*, 87: 143-151.
- Javanrouh, A., Banabazi., M.H., Esmaeilkhani, S., Amirkinia, C., Seyedabadi, H.R. and Emrani, H. (2006). Optimization on salting out method for DNA extraction from animal and poultry blood cells. *The 57th Annual Meeting of the European Association for Animal Production*. Antalya, Turkey.
- Kile, B.T., Metcalf, D., Mifsud, S., DiRago, L., Nicola, N.A., Hilton, D.J. and Alexander, W.S. (2001). Functional analysis of Asb-1 using genetic modification in mice. *Molecular Cell Biology*, 21:6189-6197.
- Liu, R., Sun, Y., Zhao, G., Wang, F., Wu, D., Zheng, M., Chen, J., Zheng, L., Hu, Y. and Wen, J. (2013). Genome-Wide Association Study Identifies Loci and Candidate Genes for Body Composition and Meat Quality Traits in Beijing-You Chickens. *PLoS ONE*, 8(4): e61172.
- Liu, R., Sun, Y., Zhao, G., Wang, H., Zheng, M., Li, P., Liu, L. and Wen, J. (2015). Identification of loci and genes for growth related traits from a genome-wide association study in a slow × fast-growing broiler chicken cross. *Genes & Genomics*, 37: 829-836.
- Madeja, Z., Adamowicz, T., Chamurzynska, A., Jan Kowski, T., Melonek, J.M., Switonski, M. and Strable, T. (2004). Short Communication: Effect of Leptin gene polymorphisms on breeding value for milk production traits. *Journal of Dairy Science*. 87: 3925-3927.
- Mahmood, R., Kiefer, P., Guthrie, S., Dickson, C. and Mason, I. (1995). Multiple roles for FGF-3 during cranial neural development in the chicken. *Development*, 121:1399-1410.

- McElroy, J.P., Kim, J.J., Harry, D.E., Brown, S.R., Dekkers, J.C. and Lamont, S.J. (2006). Identification of trait loci affecting white meat percentage and other growth and carcass traits in commercial broiler chickens. *Poultry Science*, 85(4):593-605.
- Nassar, M.K., Goraga, Z.S. and Brockmann, G.A. (2012). Quantitative trait loci segregating in crosses between New Hampshire and White Leghorn chicken lines: II. Muscle weight and carcass composition. *Animal genetics*, 43(6):739-45.
- NCBI Resource Coordinators (2013). "Database resources of the National Center for Biotechnology Information". *Nucleic Acids Research*, 41 (Database issue): D8–D20. Available at <http://www.ncbi.nlm.nih.gov/UniGene/>.
- Nones, K., Ledur, M.C., Ruy, D.C., Baron, E.E., Melo, C.M.R., Moura, A.S.A.M.T., Zanella, E.L., Burt, D.W. and Coutinho, L.L. (2005). Mapping QTLs on chicken chromosome 1 for performance and carcass traits in a broiler x layer cross. *Animal Genetics*, 37: 95-100.
- Obholz, K.L., Akopyan, A., Waymire, K.G. and MacGregor G.R. (2006). FNDC3A is required for adhesion between spermatids and Sertoli cells. *Development Biology*, 298:498-513.
- Pundir, S., Magrane, M., Martin, M.J. and O'Donovan, C. (2015). UniProt Consortium: Searching and Navigating UniProt Databases. Current. *Proteomics Bioinformatics*, 50:1.27.1-1.27.10.
- Purcell, S., Neale, B., Todd-Brown, K., Thomas, L., Ferreira, M.A., Bender, D., Maller, J., Sklar, P., de Bakker, P.I., Daly, M.J. and Sham, P.C. (2007). PLINK: a tool set for whole-genome association and population-based linkage analyses. *The American Journal of Human Genetics*, 81(3):559-75.
- Setsuie, R., Suzuki, M., Tsuchiya, Y. and Wada, K. (2010). Skeletal muscles of Uchl3 knockout mice show polyubiquitinated protein accumulation and stress responses. *Neurochemistry International Journal*, 56:911-918.
- Sharman, P.W.A., Morrice, D.R., Law, A.S., Burt, D.W. and Hocking, P.M. (2007). Quantitative trait loci for bone traits segregating independently of those for growth in an F2 broiler x layer cross. *Cytogenetic and Genome Research*, 117: 296-304.
- Sun, Y., Zhao, G., Liu, R., Zheng, M., Hu, Y., Wu, D. and Wen, J. (2013). The identification of 14 new genes for meat quality traits in chicken using a genome wide association study. *BMC Genomics*, 14: 458.
- The UniProt Consortium. (2015). UniProt: a hub for protein information. *Nucleic Acids Research*, 43: D204-D212.
- Turner, S. (2014). R Package: qqman ver. 0.1.2. Q-Q and manhattan plots for GWAS data.
- Van Raden, P.M. (2008). Efficient Methods to Compute Genomic Predictions. *Journal of Dairy Science*, 91: 4414–4423.
- Wang, W., Zhang, T., Wang, J., Zhang, G., Wang, Y., Zhang, Y., Zhang, J., Li, G., Xue, Q., Han, K., Zhao, X. and Zheng, H. (2015). Genome-wide association study of 8 carcass traits in Jinghai Yellow chickens using specific-locus amplified fragment sequencing technology. *Poultry Science*, 60:1-7.
- Zhang, Z., Ersoz, E., Lai, C.Q., Todhunter, R.J., Tiwari, H.K., Gore, M.A., Bradbury, P.J., Yu, J., Arnett, D.K., Ordovas, J.M. and Buckler, E.S. (2010). Mixed linear model approach adapted for genome-wide association studies. *Nature Genetics*, 42(4):355-60.

Zhao, J.H. (2007). gap: A genetic analysis package. *Journal of statistical software*, 23(8):1-18.

Zhou, H., Deeb, N., Ecock-Clover, CM. Ashwell, CM. and Lamont, S.J. (2006).

Genome-wide Linkage Analysis to Identify Chromosomal Regions Affecting Phenotypic Traits in the Chicken II. Body Composition. *Poultry Science*, 85(10):1712.

